

# مطالعه عددی سه بعدی آبشنستگی اطراف پایه پل‌ها

## تحت جریان های غیر ماندگار

تايماز اسماعيلي<sup>۱</sup>، سعيد خرقاني<sup>۲</sup> و امير احمد دهقاني<sup>۳</sup>

**چکیده:** آبشنستگی موضعی در مجاورت پایه پل‌ها همواره به عنوان یک مشکل، بویژه در زمان وقوع سیلاب‌ها در رودخانه‌ها مطرح بوده است که اگر تمهیدات لازم برای پیش‌گیری از این پدیده و یا کاهش اثرات آن اندیشه نشود، سازه پل با خطر انهدام مواجه خواهد بود. همچنین قرارگیری پی‌پایه‌ی پل در فاصله زیاد از سطح زمین باعث غیر اقتصادی شدن طرح می‌شود. مطالعات آزمایشگاهی نشان داده است که مقدار آبشنستگی حاصل از وقوع هیدروگراف سیلاب بمراتب کمتر از مقدار آبشنستگی محاسبه شده از دبی حداکثر سیلابی است. لذا چنانچه بتوان مقدار آبشنستگی تحت اثر جریان غیر دائمی را شبیه‌سازی نمود، می‌توان به اقتصاد طرح کمک فراوانی نمود. در این تحقیق با بکارگیری مدل عددی سه بعدی SSIIM، آبشنستگی اطراف تک پایه استوانه‌ای تحت هیدروگراف جریان شبیه سازی شد. جهت صحّت سنجی از داده‌های آزمایشگاهی موجود در این زمینه استفاده گردید. نتایج نشان می‌دهد که با استفاده از مدل عددی SSIIM می‌توان مقادیر آبشنستگی را در شاخهٔ صعودی هیدروگراف با دقت مناسبی شبیه‌سازی نمود.

**کلید واژه:** آبشنستگی موضعی، جریان غیر دائمی، نرم افزار SSIIM، هیدروگراف سیلاب.

### ۱- مقدمه

در صورت عدم طراحی مناسب، با افزایش عمق آبشنستگی موضعی و رسیدن آن به تراز پی‌پایه پل، پایداری سازه پل در خطر خواهد بود. انهدام سازه پل که نقشی مهم در شریان‌های ارتباطی کشورها دارند تبعات اقتصادی و اجتماعی نا مطلوب زیادی به دنبال خواهد داشت. در ایالات متحده آبشنستگی یکی از دلایل اصلی خرابی پل است [4]. هزینه‌های مربوط به تغییر سازه‌ها یا ساختن مجدد آنها قابل توجه است ولی کمتر از ۵ برابر هزینه‌های غیرمستقیم اخلال در حمل و نقل و ترافیک است [5]. این هزینه‌ها در مناطقی مانند ایالت آلاسکا و آمریکا شاید بیش از این مقادیر نیز باشد چون در این ایالت راه‌های ارتباطی زمینی بین مناطق مختلف شهری محدود هستند و بین بسیاری از شهرها فقط یک راه ارتباطی وجود دارد [6].

از جمله روش‌های مقابله با آبشنستگی موضعی می‌توان به قرار دادن پی‌پایه پل‌ها در عمقی بیش از عمق آبشنستگی (متناظر با سیل طرح) اشاره نمود. هرچند، در نظر گرفتن حداکثر سیلاب طرح با دوره بازگشت های زیاد برای محاسبه‌ی عمق آبشنستگی در جهت اطمینان است، لیکن این کار توجیه اقتصادی نخواهد داشت. از سوی دیگر پیش‌بینی عمق آبشنستگی تعادلی بر اساس دبی سیل طراحی و بوسيله یک رابطه معمولاً مستقل از زمان صورت می‌پذیرد و این در حالی است که افزایش عمق آبشنستگی پدیده‌ای است که با زمان رابطه

پیش‌بینی عمق آبشنستگی موضعی اطراف پایه پل‌ها همواره به عنوان یکی از دغدغه‌های اصلی مهندسین رودخانه مطرح بوده است. سیستم اصلی گردابهای که به تشکیل حفره‌های آبشنستگی کمک می‌کند از برخورد جریان به جلوی پایه و انحراف آن به طرف پایین ایجاد می‌شود که نظری یک جت عمودی آب عمل کرده و مواد کناره پایه پل را همراه جریان به بالا پرتاب نموده و جریان آب، آن را با خود حمل می‌کند. درنتیجه در جلوی پایه گودالی حفر می‌شود که در داخل این گودال جریان چرخشی ایجاد شده و به تدریج عمق حفره زیاد می‌شود. جریان چرخشی در جلو پایه به دوطرف پایه نیز امتداد می‌یابد و شکل نعل اسپی را به خود می‌گیرد [2].

طبق نظر بعضی از محققین این عامل درابتدا ضعیف است ولی پس از تشکیل حفره‌ی آبشنستگی سیستم جریان نعل اسپی از نظر قدرت و اندازه نیز رشد می‌کند. با زیاد شدن عمق آبشنستگی، مقدار سرعت جریان درزندیک کف حفره کم شده و هنگامی که قدرت نیروهای محرك تقریباً برابر نیروهای مقاوم گردید آبشنستگی متوقف می‌شود. گردابهای نعل اسپی نیز در اثر جدا شدن خطوط جریان به علت وجود پایه پل در مسیر جریان آب بوجود می‌آید [3].

۱. دانشجوی کارشناسی ارشد سازه‌های هیدرولیکی، دانشگاه آزاد اسلامی واحد تهران جنوب، دانشکده تحصیلات تکمیلی taimaz.esmaeili@gmail.com

۲. استادیار دانشکده آب، عضو هیئت علمی دانشگاه صنعت آب و برق شهید عباسپور kharaghanis@yahoo.com

۳. استادیار گروه مهندسی آب، دانشگاه علوم کشاورزی و منابع طبیعی گرگان a.dehghani@gau.ac.ir

دقّت بسیار بالای مدل عددی SSIIM در محاسبه عمق آبشتستگی در شرایط جریان دائمی بود. عمق آبشتستگی متعادل در زمان نسبتاً طولانی حاصل می‌شود و این در حالی است که ممکن است دبی پیک جریان به اندازه‌های تداوم نداشته باشد که عمق آبشتستگی متعادل را ایجاد کند. بنابراین عمق آبشتستگی متعادل ممکن است بزرگتر از مقداری باشد که در طول زمان تداوم کوتاه‌تر ایجاد می‌گردد. Yanmaz, Mia and Nago (2003) توسعه تنش برشی بستر اطراف پایه در ترکیب با تئوری انتقال رسوبات بستر را مورد توجه قرار دادند و یک روش برای محاسبه تغییرات عمق آبشتستگی با زمان ارائه نمودند. [14] Kothyari et al. (1992) تغییرات عمق آبشتستگی را با توجه به پارامتر زمان، اطراف پایه‌های استوانه‌ای پل‌ها در شرایط جریان آب صاف، تحت جریان‌های غیر دائمی که به کمک هیدروگراف پلکانی تقریب زده شده بود بررسی کردند. Olivetto et al. (2007) یک مدل تئوری ارائه کردند که قابلیت ارزیابی پروسه Chang et al. [10] آبشتستگی در شرایط جریان‌های غیر دائمی را داشت. [10] در آزمایشگاه هیدرولیک دانشگاه ملی تایوان مطالعاتی در زمینه توسعه عمق حفره آبشتستگی اطراف پایه‌پل در شرایط آب صاف و تحت جریان‌های غیر دائمی که با هیدروگراف‌های پلکانی تقریب زده شده بودند، انجام داد. [13].

امروزه کاربرد مدل‌های عددی در زمینه‌های مهندسی بسیار رایج گشته‌اند. از این رو از آنها در کارهای مهندسی رودخانه نیز به طور گسترده‌ای استفاده می‌شود. مدل‌های عددی سه بعدی به دلیل در نظر گرفتن جریان‌های ثانویه ناشی از برخورد جریان آب به پایه پل در این میان از جایگاه ممتازی برخوردار هستند این در حالی است که مدل‌های یک بعدی و دو بعدی قادر چنین توانایی می‌باشند.

در این مقاله پس از معرفی مدل عددی SSIIM و معادلات حاکم بر میدان جریان و رسوب، توسعه عمق حفره آبشتستگی در طول زمان هیدروگراف‌های مختلف در اطراف پایه استوانه‌ای به کمک مدل عددی SSIIM، شبیه سازی شده است. نتایج مدل عددی با اطلاعات آزمایشگاهی در دسترس مقایسه گردید. نتایج بدست آمده حاکی از آن است که نتایج مدل عددی در شاخه صعودی هیدروگراف‌ها در تمام شرایط بسیار خوب است ولی دقّت نتایج مدل عددی در شاخه نزولی

مستقیم دارد به گونه‌ای که در ابتدا آهنگ آبشتستگی بالا بوده ولی با گذشت زمان و نزدیک شدن به عمق متعادل از سرعت توسعه آن کم گردیده و نهایتاً متوقف می‌شود [1].

منطقه جریان سه بعدی اطراف پایه پل به دلیل تفکیک و پیدایش گردابهای مختلف بسیار پیچیده است. پیچیدگی میدان جریان به خاطر فعل و انفعال دینامیکی بین جریان و مرز متحرک در طول توسعه حفره آبشتستگی بیشتر نیز خواهد شد. جریان هم آغاز کنده و هم کنده الگوی آبشتستگی موضعی اطراف پایه پل است که با فعل و انفعال پیوسته بر جریان تاثیر می‌گذارد [7]. پیشگویی دقیق الگوی آبشتستگی در اطراف پایه پل قویاً وابسته به حل مجدد ساختار جریان و مکانیسم انتقال رسوبات در داخل و خارج حفره آبشتستگی در طول توسعه حفره آبشتستگی است [8]. بیشتر مطالعات پیشین بر روی تخمین عمق آبشتستگی متعادل و رابطه آن با جریان و پارامترهای ژئوتکنیکی با استفاده از آنالیز ابعادی و اطلاعات بدست آمده از آزمایشات در مقیاس کوچک، متمرکز می‌باشد. معادلات پیش‌بینی کنده عمق آبشتستگی همیشه تقریب‌های قابل قبولی در شرایط صحرایی نمی‌دهند و حتی گاهی اوقات در شرایط آزمایشگاهی متفاوت هم نتایج متفاوتی می‌دهند. علم درک صحیح و عدم محاسبات درست ساختار جریان بخشی از این مشکل می‌باشد [9].

تعداد زیاد پارامترهای موثر بر پدیده آبشتستگی بر پیچیدگی آن می‌افزاید از این رو نیاز به یک مدل عددی توانمند که با استفاده از گستره سازی معادلات حاکم بر میدان جریان و رسوب و اعمال یک سری فرضیات ساده کننده، روابط پیچیده حاکم بر این پدیده را به معادلات ساده و قابل حل تبدیل نماید، به طور جلدی احساس می‌شود. از سوی دیگر در نظر گرفتن پارامتر زمان در طول فرآیند آبشتستگی همواره مدل نظر محققان بوده است ولی با توجه به اینکه در نظر گرفتن زمان در این رویداد مخرب بر جنبه‌های پیچیده قضیه می‌افزاید، نیاز به بررسی و تحقیق بیشتر و جامع تری در این رابطه می‌باشد. کد عددی سه بعدی SSIIM می‌تواند پاسخگوی بسیاری از نیازهای در زمینه‌های مختلف هیدرولیکی از جمله آبشتستگی در اطراف پایه پل‌ها باشد، خصوصاً اینکه این کد عددی قابلیت در نظر گرفتن زمان در طول فرآیند آبشتستگی را نیز دارد [1].

طبیب زاده و همکاران (۱۳۸۴) جهت اندازه گیری عمق آبشتستگی متعادل اطراف پایه‌های پل با مقطع دایره‌ای از مدل عددی SSIIM استفاده نمودند. نتایج مطالعات آنها بیانگر

## ۲-۲- معادلات حاکم بر میدان جریان

در این نرم افزار معادلات حاکم بر میدان جریان معادلات ناویر استوکس می‌باشد که جهت حل آن از مدل آشفتگی  $k-\epsilon$  استفاده می‌شود. به علاوه کد عددی SIIIM قابلیت استفاده از مدل‌های آشفتگی مختلف را نیز دارد. به هر حال معادلات ناویر استوکس برای سیالات تراکم ناپذیر با چگالی ثابت در حالت برداری به فرم زیر می‌باشد:

$$\frac{\partial u_i}{\partial t} + U_j \frac{\partial u_i}{\partial x_j} = \frac{1}{\rho} \frac{\partial}{\partial x_j} (-\rho \delta_{ij} - \rho \bar{u}_i \bar{u}_j) \quad (1)$$

که در رابطه‌ی فوق ترم اویل سمت چپ ترم گذار (تغییرات زمانی) و ترم بعدی ترم جابجایی می‌باشد. اویلین ترم سمت راست ترم فشار و بعدی ترم مربوط به تنش رینولوز است. جهت ارزیابی ترم اخیر به یک مدل آشفتگی نیاز می‌باشد. جهت انفصال (گستته سازی) از روش حجم محدود<sup>۱</sup> با استفاده از قاعده توانی یا الگوریتم جهتمند مرتبه دوم استفاده می‌شود.

روش SIMPLE نیز به عنوان پیش فرضی جهت تصحیح فشار به کار می‌رود که البته نرم افزار قابلیت استفاده از الگوریتم SIMPLEC را نیز دارد. بطور خلاصه می‌توان معادلات حاکم بر میدان جریان در حالت<sup>۲</sup> آشفته را معادله پیوستگی و معادله مونتوم دانست. اگر فرض شود که جریان دائمی است ( $\frac{\partial}{\partial t} = 0$ ) و نوسانات جرم مخصوص صفر است ( $\rho' = 0$ ) معادلات مونتوم و پیوستگی به ترتیب بصورت زیر قابل بیان هستند.

$$\frac{\partial}{\partial x_j} (\rho u_i u_j) = -\frac{\partial p}{\partial x_j} \delta_{ij} + \frac{\partial}{\partial x_j} \mu \left( \frac{\partial u_i}{\partial x_j} + \frac{\partial u_j}{\partial x_i} \right) + \frac{\partial}{\partial x_j} (-\rho \bar{u}_i \bar{u}_j) \quad (2)$$

$$\frac{\partial}{\partial x_j} (\rho u_j) = 0 \quad (3)$$

$U$  مولفه سرعت،  $\rho$  چگالی سیال و  $P$  فشار کل می‌باشد. ترم  $-\rho \bar{u}_i \bar{u}_j$  همان ترم تنش رینولوز است. طبق روابط (۲) و (۳) می‌توان سه معادله مونتوم و یک معادله پیوستگی نوشت که در آنها مجموعاً ۱۰ معجهول (سرعت در سه جهت  $w, v, u$  و فشار  $p$  و شش مولفه تنش رینولوز) وجود دارد که این بدان معناست که میدان معادلات حاکم بر جریان بسته نبوده و جهت بستن آنها باید از معادلات آشفتگی نیز استفاده نمود.

به نوع هیدرولوگیک گراف جریان وابسته است. این در حالی است که قسمت عمده آبشنستگی در محل پایه پل در شاخه صعودی اتفاق می‌افتد.

## ۲- مواد و روش‌ها

### ۲-۱- معرفی مدل عددی SIIIM

مدل SIIIM یک نرم افزار سه بعدی جهت شبیه سازی حرکت آب و رسوب بوده و توسط Nils Reidar B.Olsen در دپارتمان مهندسی هیدرولیک و محیط زیست دانشگاه علوم و تکنولوژی نروژ sediment simulation in water توسعه یافته. SIIIM مخفف intakes with multiblock option CFD سه بعدی بر مبنای روش حجم محدود بوده و معادلات ناویر-استوکس را بر مبنای مدل آشفتگی  $k-\epsilon$  استاندارد حل می‌کند [12]. البته این مدل قابلیت استفاده از دیگر مدل‌های آشفتگی را نیز دارد که توسط کاربر قابل انتخاب است. زمینه استفاده از آن در مهندسی رودخانه، محیط زیست، هیدرولیک و رسوب می‌باشد. بعدها استفاده از این برنامه در سایر موضوعات هیدرولیکی نظری مدل کردن سرریزها، افت در تونل‌ها، رابطه عمق و دبی در رودخانه‌ها و... نیز توسعه یافته. مزیت اصلی مدل SIIIM در مقایسه با سایر برنامه‌های CFD توانایی مدل انتقال رسوب در بستر متحرک در هندسه‌های پیچیده است. در سالیان اخیر از این مدل عددی در محاسبات کیفیت آب نیز استفاده شده است.

برنامه SIIIM معادلات Navier-Stokes را با مدل استاندارد بروی یک شبکه سه بعدی تقریباً نامتعادل حل می‌کند. برای منفصل سازی نیز از روش حجم کترول به همراه الگوریتم توانی یا الگوریتم جهتمند مرتبه دوم استفاده می‌شود. روش SIMPLE جهت ارتباط ترم فشار و سرعت به کار می‌رود. با استفاده از یک روش حل ضمنی میدان سرعت در هندسه محاسبه شده و با استفاده از میدان سرعت محاسبه شده و با حل معادله پیوستگی رسوب به محاسبه‌ی تغییرات بستر می‌پردازد [11]. روند محاسبات میدان جریان و رسوب در مدل عددی SIIIM در بخش‌های ۲-۲ تا ۵-۲ بصورت زیر می‌باشد

:[11]

متفاوتی محاسبه می شود که بعضی از آنها که به صورت پیش فرض نیستند، بایستی فراخوان گردنند. با ید توجه داشت که بعضی از این الگوریتم‌ها نسبت به گام زمانی بسیار حساس هستند.

$$\Delta h_{ij} = \frac{1}{\rho g} (P_{ij} - P_{ref}) \quad (8)$$

در این روش ابتدا جابجایی عمودی برای سلول‌های سطح آب اعمال شده و بدین ترتیب سلول‌های پایین تر نیز دارای جابجایی خواهند بود که میزان آن متناسب با توزیع لایه‌ها در جهت عمودی می‌باشد به نحوی که نسبت اندازه سلول‌ها در جهت عمودی به عمق آب همواره مقدار ثابتی خواهد داشت.

#### ۵-۲- معادلات حاکم بر جریان رسوب

اساس محاسبه دبی رسوب در مدل عددی SSIIM بر مبنای حل معادله انتقال-پخش<sup>۲</sup> رسوب استوار می‌باشد. در این حالت ابتدا غلظت رسوب در فاصله بین سطح آب تا سطح مبنا محاسبه می‌گردد. تراز سطح مبنا با توجه به ارتفاع زیری معادل در نظر گرفته می‌شود. حمل رسوب به دو نوع بار بستر و بار معلق تقسیم می‌شود. بار معلق را می‌توان به کمک معادلات پخش-انتقال رسوب با محاسبه غلظت رسوب بصورت زیر تعیین کرد. در رابطه (۹)،  $W$  سرعت سقوط ذرات و  $\Gamma_T$  ضریب پخش می‌باشد که از معادله k-ε استاندارد بدست می‌آید.

$$\frac{\partial c}{\partial t} + u_j \frac{\partial c}{\partial x_j} + w \frac{\partial c}{\partial z} = \frac{\partial}{\partial x_j} (\Gamma_T \frac{\partial c}{\partial x_j}) \quad (9)$$

در رابطه (۱۰)  $Sc$  عدد اشمیت بوده و بصورت پیش فرض ۱ در نظر گرفته می‌شود (Olsen, 2007).  $V_T$  نیز لزجت گردابه ای است که در رابطه (۵) نیز توضیح داده شده است.

$$\Gamma_T = \frac{V_T}{Sc} \quad (10)$$

رابطه (۱۱) توسط Rijn Van در سال ۱۹۸۷ جهت تعیین غلظت رسوب در نزدیکی بستر ارائه شده که در مدل عددی SSIIM از آن استفاده می‌شود.

#### ۳-۲- مدل آشفتگی k-ε

در نرم افزار SSIIM به صورت پیش فرض از مدل آشفتگی k-ε جهت محاسبه تنش های رینولدز استفاده می‌گردد که معادله آن به صورت زیر است:

$$\frac{\partial k}{\partial t} + u_j \frac{\partial k}{\partial x_j} = \frac{\partial}{\partial x_j} \left( \frac{V_T}{\sigma_k} \frac{\partial k}{\partial x_j} \right) + p_k - \epsilon \quad (4)$$

در این معادله  $V_T$  لزجت گردابه ای بوده که توسط رابطه زیر محاسبه می‌گردد:

$$V_T = C_\mu \frac{k}{\epsilon^2} \quad (5)$$

در رابطه (۴)،  $P_k$  به صورت زیر تعیین می‌شود:

$$P_k = V_T \frac{\partial u_j}{\partial x_i} \left( \frac{\partial u_j}{\partial x_i} + \frac{\partial u_i}{\partial x_j} \right) \quad (6)$$

در رابطه (۶)  $C_\mu$  بیانگر میزان اتلاف انرژی جنبشی (k) بوده و با استفاده از رابطه زیر تعیین می‌شود:

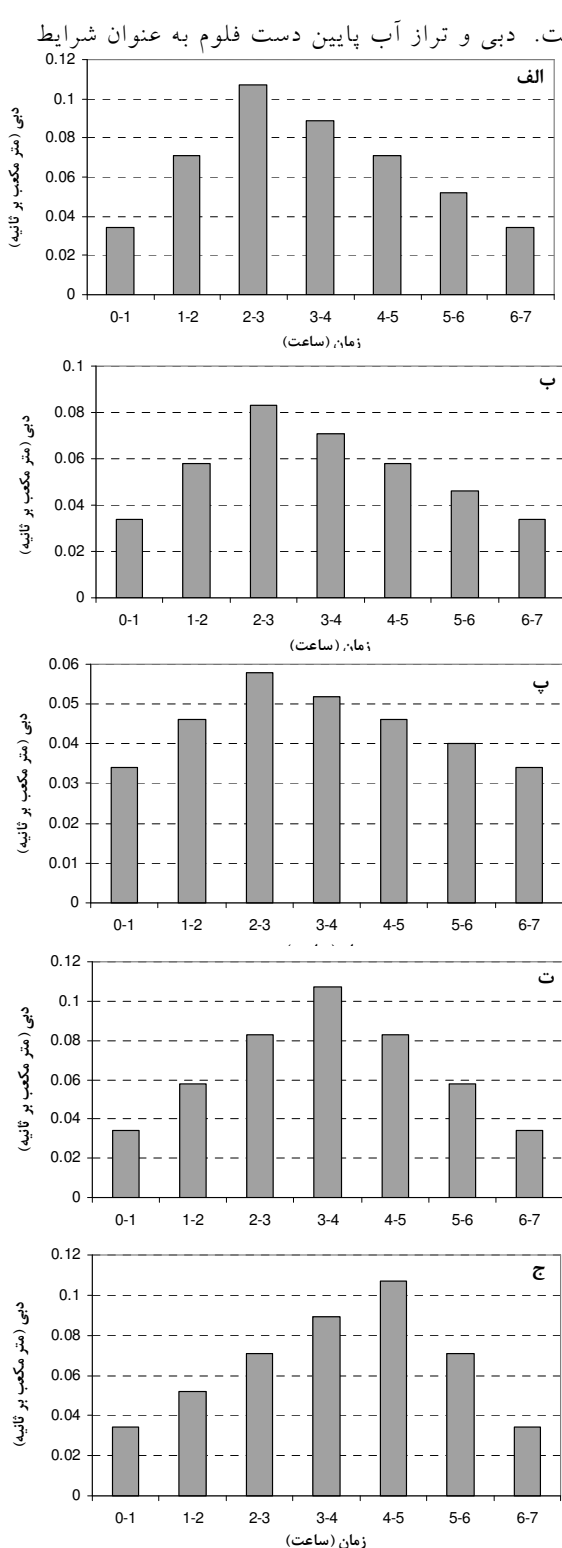
$$\frac{\partial \epsilon}{\partial t} + u_j \frac{\partial \epsilon}{\partial x_j} = \frac{\partial}{\partial x_j} \left( \frac{V_T}{\sigma_k} \frac{\partial k}{\partial x_j} \right) + C_{\epsilon 1} \frac{\epsilon}{k} P_k + C_{\epsilon 2} \frac{\epsilon^2}{k} \quad (7)$$

در معادلات بالا، C<sub>1</sub> و C<sub>2</sub> ها ثابت هایی هستند که توسط کاربر قابل تغییر نمی‌باشند. مدل عددی سه بعدی SSIIM قابلیت استفاده از مدل‌های آشفتگی دیگری چون k-omega RNG و... را نیز دارد که توسط کاربر قابل انتخاب هستند.

#### ۴- محاسبه پروفیل سطح آب

پروفیل سطح آب در این نرم افزار با استفاده از بروون یا بی فشار در سلول‌های داخلی نزدیک سطح آب تعیین می‌شود. یک سطح مرجع در یک سلول واقع در پایین دست داده می‌شود که در این سلول سطح آب ثابت و بدون تغییر مکان است. فشار در این سلول P<sub>ref</sub> به عنوان فشار مرجع انتخاب می‌شود و سپس یک اختلاف فشار برای هر سلول با کم نمودن از این فشار مرجع محاسبه می‌شود. این اختلاف فشارهای محاسبه شده با استفاده از رابطه (۸) مقدار جابجایی را برای هر سلول بدست می‌دهند. محاسبات سطح آزاد آب<sup>۱</sup> با استفاده از یک روش Fixed-lid با گرادیان صفر برای تمام متغیرها انجام می‌پذیرد. موقعیت و جابجایی در این روش با الگوریتم‌های

هر یک ساعت به کمک هیدروگراف پلکانی تقریب زده شده است. دبی و تراز آب پایین دست فلوم به عنوان شرایط



شکل ۱. هیدروگراف های پلکانی به کار رفته در شبیه سازی عددی

$$C_{bed} = 0.015 \frac{d^{0.3}}{a} \left[ \frac{\tau - \tau_c}{\tau_c} \right]^{1.5} \left[ \frac{(\rho_s - \rho_w)g}{\rho_w V^2} \right]^{0.1} \quad (11)$$

در رابطه (11)،  $d$  قطر ذرات رسوبی،  $a$  تراز مرتع با توجه به ارتفاع زیری،  $\tau$  تنش برشی بستر،  $\tau_c$  تنش برشی بحرانی بستر برای جابجایی ذرات رسوبی با توجه به دیاگرام شیلدز،  $\rho_s$  و  $\rho_w$  چگالی آب و رسوب،  $V$  ویسکوزیته آب و  $g$  شتاب ثقل است. مدل عددی SSIIM جهت محاسبه بار بستر در فاصله بار بستر تا سطح مبنی از رابطه زیر استفاده می‌نماید.

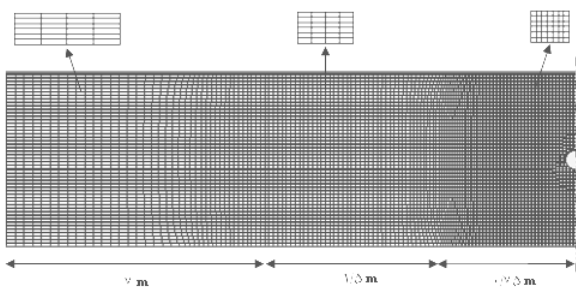
$$\frac{q_b}{D_{50}^{1.5} \sqrt{\frac{(\rho_s - \rho_w)g}{\rho_w}}} = 0.053 \left[ \frac{\tau - \tau_c}{\tau_c} \right]^{1.5} \left[ \frac{(\rho_s - \rho_w)g}{\rho_w V^2} \right]^{0.1} \quad (12)$$

در رابطه ۱۲،  $D_{50}$  سایز متوسط ذرات رسوبی است. بقیه پارامترها در روابط قبلی معرفی شده اند.

### ۳-داده‌های آزمایشگاهی مورد استفاده در شبیه سازی عددی

به منظور کالیبراسیون و صحّت سنجی نتایج مدل عددی از نتایج آزمایشگاهی Chang et al.(2004) که در آزمایشگاه انسیتیو تحقیقات Hydrotech دانشگاه ملی تایوان در تایپه بدست آمده، استفاده گردید. آزمایش‌ها در کanalی به طول ۳۶ متر و به عرض ۱ متر با مصالح بستر یکنواخت به قطر ۷۱/۰ میلیمتر در شرایط جریان آب صاف انجام شده است. یک پایه استوانه‌ای از جنس پلکسی گلاس (Plexiglass) و به قطر ۱۰ سانتیمتر در مرکز قسمت میانی کanal قرار داده شده است. تغییرات زمانی پروفیل سطح بستر اطراف پایه نیز به کمک دو دوربین با قطر لنز ۲ میلی متر که در داخل پایه کار گذاشته شده اند، اندازه‌گیری شده است. از آنجا که هدف شبیه سازی عددی آبشنستگی حول پایه استوانه‌ای تحت شرایط جریان غیر دائمی و به کمک هیدروگراف جریان می‌باشد از هیدروگراف‌های شکل (۱) که به صورت پلکانی می‌باشد استفاده گردیده است.

با توجه به زمان تداوم هفت ساعته جریان در این هیدروگراف‌ها، شرایط مرزی دبی و تراز آب پایین دست در



شکل ۲. ساختار مش به کار رفته در شبیه سازی عددی و نمایش شماتیک ریز شدن سلول ها با نزدیک شدن به پایه.

تعداد مقاطع استفاده شده در پلان در جهت طولی و با توجه به طول در نظر گرفته شده فلوم ۵۵۰ و در جهت عرضی ۱۰۰ عدد بود. با توجه به اینکه در جهت قائم توزیع خطوط شبکه در ۰٪، ۱۰٪، ۲۰٪، ۳۰٪، ۴۰٪، ۵۰٪، ۶۰٪ و ۷۰٪ عمق جریان بوده است، تعداد کل سلول ها در شبکه سه بعدی مدل ۳۸۵۰۰۰ عدد بوده است. با توجه به حساسیت تغییرات سرعت در کف فلوم توزیع خطوط شبکه در نزدیکی پسترهای فشرده تر در نظر گرفته شده است.

پس از ساختن شبکه با اعمال شرایط مرزی دبی و تراز آب پایین دست مدل عددی اجرا شده وحداکثر عمق آبستنگی محاسبه شده توسط مدل عددی در زمان های متأخر با اندازه گیری های آزمایشگاهی ثبت گردید و با نتایج آزمایشگاهی مقایسه شد. از آنجا که محاسبات میدان جریان و رسوب در سه بعد و بصورت وابسته به زمان صورت می گیرد، شبیه سازی عددی توسعه حفره آبستنگی تحت هر کدام از هیدروگراف های جریان با توجه به گام زمانی که مدل کالیبره می گردد ممکن است چندین روز زمان ببرد.

### ۵- نتایج بدست آمده از شبیه سازی عددی

در شکل (۳) توسعه عمق حفره آبستنگی اطراف پایه استوانه ای نسبت به زمان در دو حالت آزمایشگاهی و عددی برای ساعت اول نشان داده شده است. در انتهای یک ساعت اول اختلاف بین مقادیر آزمایشگاهی و مدل عددی به کمتر از ۲٪ می رسد که عملاً مقدار ناچیزی است. نمودار شکل (۳) گویای آن است که بین نتایج آزمایشگاهی و نتایج شبیه سازی عددی سازگاری خوبی وجود دارد و مقادیر کم خطا در این کد عددی سه بعدی و با درنظر گرفتن پارامتر زمان و حل معادلات بر مبنای آن، بیانگر توانمندی و دقّت خوب آن می باشد. محور افقی زمان را بر حسب دقیقه و محور قائم مقدار عمق آبستنگی را بر حسب میلی متر نشان می دهد.

مرزی در ساعت اول به مدل عددی داده شده و سپس مدل عددی با گام های زمانی ۴ ثانیه ای و با تخصیص زیری مناسب کالیبره گردید. در مرحله بعد تغییرات تراز بستر ایجاد شده حاصل از ساعت اول، بعنوان پیش فرض برای ساعت دوم استفاده گردیده و شرایط مرزی جدید نیز در ساعت دوم به مدل عددی داده شد و این کار تا ساعت هفتم ادامه یافت. نهایتاً در پایان هر ساعت تغییرات بستر و مقدار حداقل عمق آبستنگی ثبت گردید.

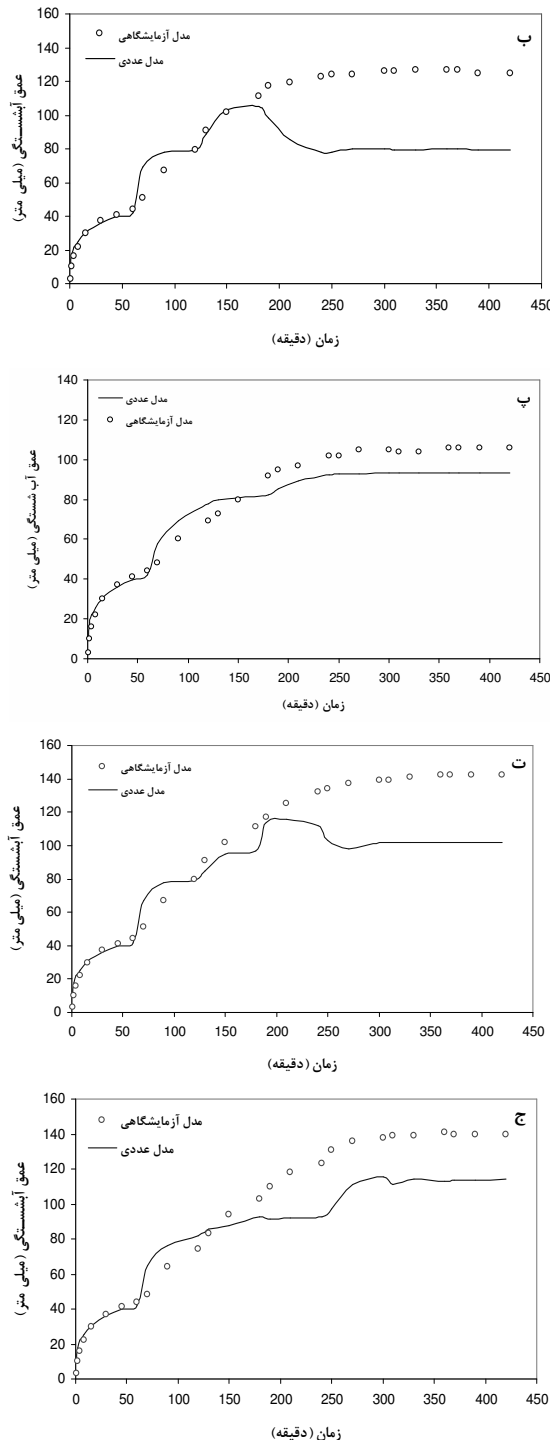
در شکل (۱) هیدروگراف های الف، ب و پ در ساعت سوم به دبی پیک می رساند و تفاوت آنها فقط در مقدار دبی پیک می باشد. هیدروگراف پ دارای کمترین مقدار دبی پیک در مقایسه با چهار هیدروگراف دیگر بوده و نسبت به دیگر هیدروگرافها روند تغییرات دبی در گام های مختلف زمانی تدریجی و ملایم می باشد. هیدروگراف های الف، ت و ج دارای دبی پیک یکسانی بوده و تفاوت آنها در زمان رسیدن به دبی پیک می باشد.

### ۴- شبیه سازی میدان جریان و رسوب در اطراف پایه پل تحت جریان غیر دائمی با استفاده از مدل عددی SSIIM

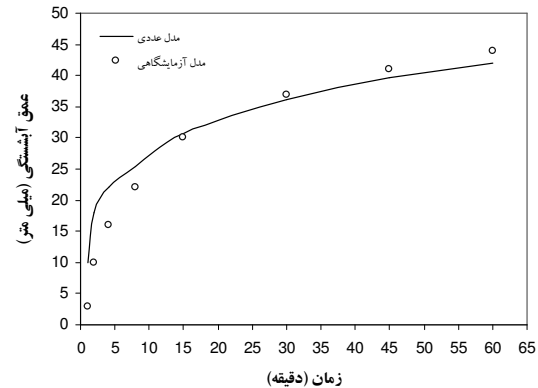
اوئین مرحله قبل از اجرای مدل عددی تقسیم بندي ناحیه مورد نظر به سلول هایی است که معادلات دیفرانسیلی حاکم بر میدان جریان و رسوب باید برای آنها حل گردند. این فرایند مش بندي (شبکه بندي) نامیده می شود.

ساختن شبکه مناسب وقتگیرترین فرآیند آماده سازی اطلاعات ورودی برای مدل عددی SSIIM می باشد که دقّت محاسبات، همگرایی و زمان محاسبات را تحت تأثیر قرار می دهد. جهت کاستن زمان و حجم محاسبات و در عین حال افزایش دقّت آن، شبکه ساخته شده توسط یک برنامه جداگانه تهیه شده توسط مؤلفین به زبان QBASIC در سه مرحله و بتدریج با نزدیک شدن به پایه پل رسیده است. به طوریکه در فواصل دورتر از پایه اندازه سلول ها  $5 \times 1\text{cm}^2$  و سپس با کمتر شدن فاصله و نهایتاً در  $1/5 \times 1\text{cm}^2$  و  $2/5 \times 1\text{cm}^2$  ای  $1 \times 1\text{cm}^2$  تعیین شده است. شکل (۲) ریزتر شدن تدریجی شبکه را بصورت شماتیک و بدون مقیاس در نیمی از کanal نشان می دهد.

مطالعه عددی سه بعدی آبشنستگی اطراف پایه پل‌ها... / ۲۵



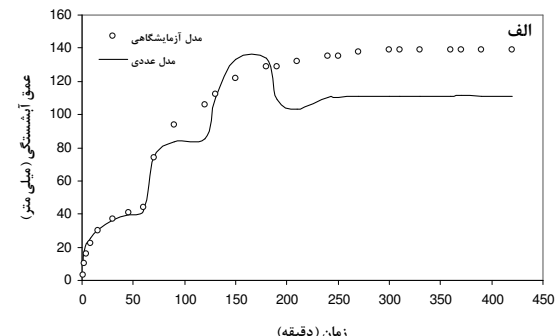
شکل ۴. توسعه زمانی عمق حفره آبشستگی حول پایه استوانه ای. (الف) تحت هیدروگراف ۱-الف، (ب) تحت هیدروگراف ۱-ب، (پ) تحت هیدروگراف ۱-پ، (ت) تحت هیدروگراف ۱-ت و (ج) تحت هیدروگراف ۱-ج

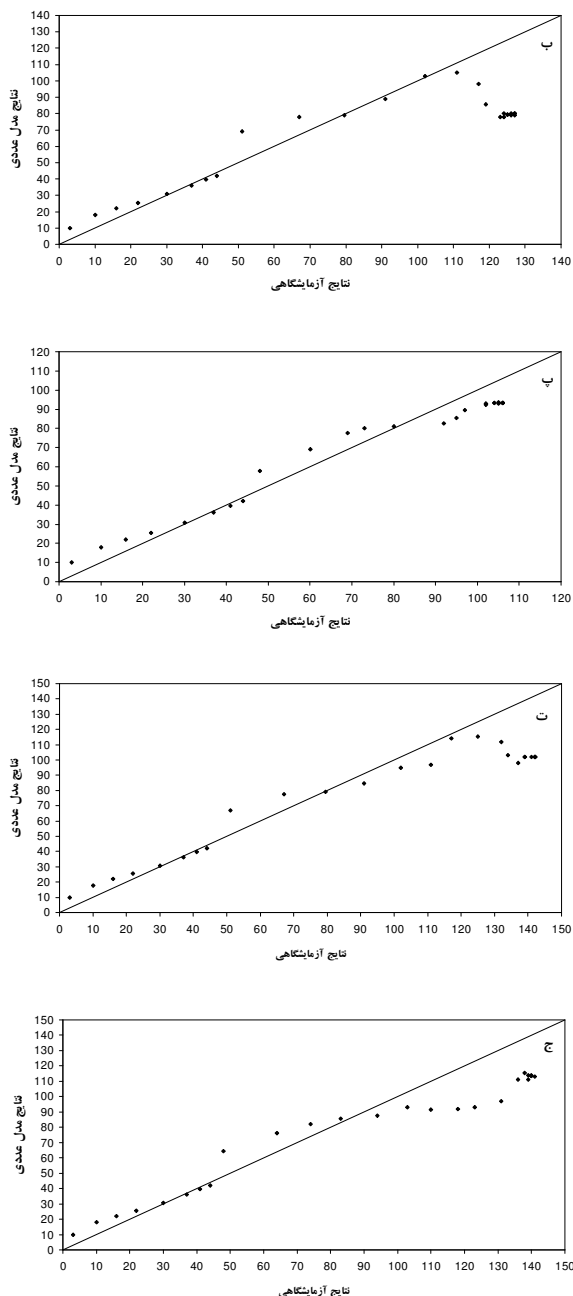


شکل ۳. تغییرات عمق آبشستگی اطراف پایه استوانه ای در یک ساعت اول به کمک نتایج مدل عددی و آزمایشگاهی

قسمت اعظم آبشستگی در جریان‌های غیر دائمی تا هنگام رسیدن به دبی پیک هیدروگراف اتفاق می‌افتد و پس از آن در زمان فرو کشیدن هیدروگراف تا پایان زمان تداوم آن عمق آبشستگی به مقدار ناچیزی افزایش می‌یابد. این نتیجه بر اساس مشاهدات آزمایشگاهی Chang et al. (2004) بدست آمده است. شرایط مرزی دبی و تراز آب پایین دست برای تمام هیدروگراف‌ها در ساعت اول یکسان است. توسعه عمق حفره آبشستگی در طول زمان تداوم هیدروگراف‌ها مطابق با آنچه در بخش ۳ توضیح داده شد، به کمک نرم افزار SSIIM شبیه سازی گردید. این نتایج در شکل ۴ نشان داده شده است.

در شکل ۵ مقادیر آبشستگی اندازه گیری شده در برابر نتایج حاصل از شبیه سازی عددی به کمک نرم افزار SSIIM به ترتیب تحت هیدروگراف‌های جریان شکل ۱ نشان داده شده است. این شکل به خوبی مقدار اختلاف مقادیر بدست آمده از نرم افزار و مقادیر آزمایشگاهی را نشان می‌دهد.





شکل ۵. نمایش مقدار اختلاف مقادیر آبشتستگی به دست آمده به کمک نرم افزار و نتایج آزمایشگاهی در زمان های متناظر. (الف) تحت هیدروگراف ۱-الف، (ب) تحت هیدروگراف ۱-ب، (پ) تحت هیدروگراف ۱-پ، (ت) تحت هیدروگراف ۱-ت و (ج) تحت هیدروگراف ۱-ج.

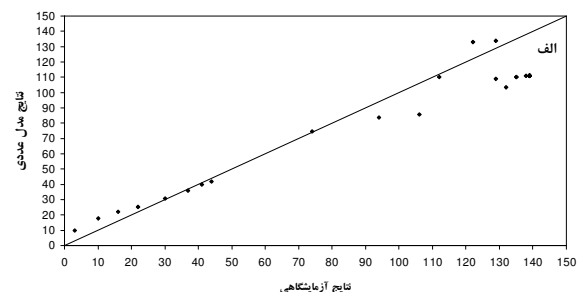
همان طور که از نتایج نشان داده شده در شکل ۴ مشخص است نتایج مدل عددی و آزمایشگاهی در شاخه صعودی تحت تمام هیدروگراف ها از تطابق بسیار خوبی برخوردار است.

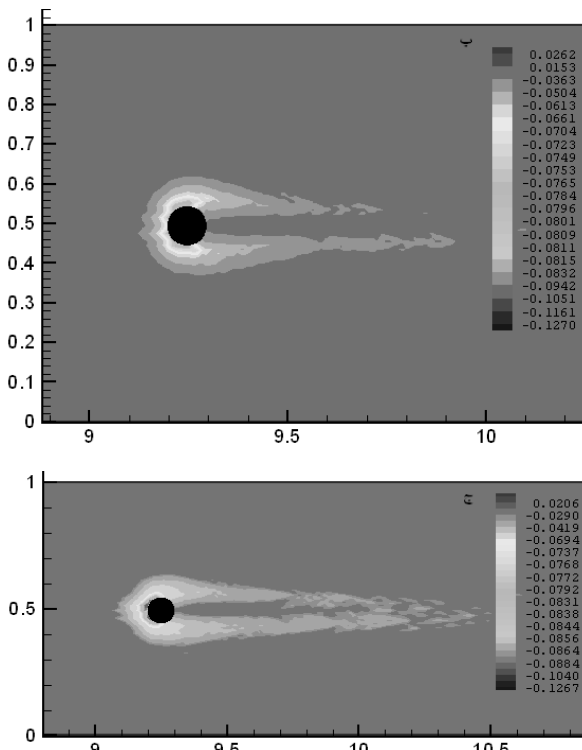
نتایج مدل عددی در شاخه نزولی نسبت به شاخه صعودی از دقّت کمتری برخوردار است. میزان دقّت نتایج مدل عددی در شاخه نزولی تحت هیدروگراف های پ و ج نسبت به سایر هیدروگراف های جریان بهتر است.

شکل های ۶ و ۷ نشان می دهند که بر اساس نتایج مدل عددی نیز قسمت عمده آبشتستگی در پایان شاخه صعودی حاصل می شود به طوریکه بیش از ۸۰٪ عمق نهایی آبشتستگی نهایی در پایان زمان رسیدن به دبی پیک رخ داده است. نتایج مدل عددی تحت هیدروگراف جریان شکل ۱-پ از دقّت بسیار خوبی چه در شاخه نزولی و چه در شاخه صعودی برخوردار هستند. در این هیدروگراف اختلاف دبی پیک و حداقل نسبت به سایر هیدروگراف ها کمتر است.

طبق نتایج بدست آمده تحت هیدروگراف های جریان شکل ۱-الف، ۱-ت و ۱-ج که در همه آنها مقدار دبی پیک یکسان است، مشاهده می شود در شرایط جریان شکل ۱-ج دقّت نتایج در شاخه نزولی نسبت به دو هیدروگراف دیگر بهتر است. در هیدروگراف شکل ۱-ج دبی پیک در ساعت پنجم حاصل شده است در نتیجه اختلاف دبی در گام های متوالی در شاخه صعودی نسبت به دیگر هیدروگراف ها کمتر می باشد. به طور کلی در شاخه نزولی بعضی از هیدروگراف ها به دلیل تغییر ماهیت شرایط مرزی دبی و تراز سطح آب از حالت صعودی به نزولی، نتایج این تغییر شرایط با کمی تأخیر در مدل عددی ظاهر می شود و همین باعث ایجاد خطأ خواهد شد. مقدار خطای نتایج مدل عددی در شاخه نزولی با میزان تغییرات دبی در گام های متوالی در شاخه صعودی نسبت مستقیمی دارد.

نرم افزار SSIIM می تواند مقاطع عرضی، طولی و الگوی جریان را در قسمت های مختلف مدل نمایش دهد.





شکل ۷. شکل تراز بستر حول پایه استوانه‌ای تحت هیدروگراف شکل ۱-پ، (الف) در انتهای ساعت اول، (ب) در انتهای ساعت سوم و (ج) در پایان ساعت هفتم.

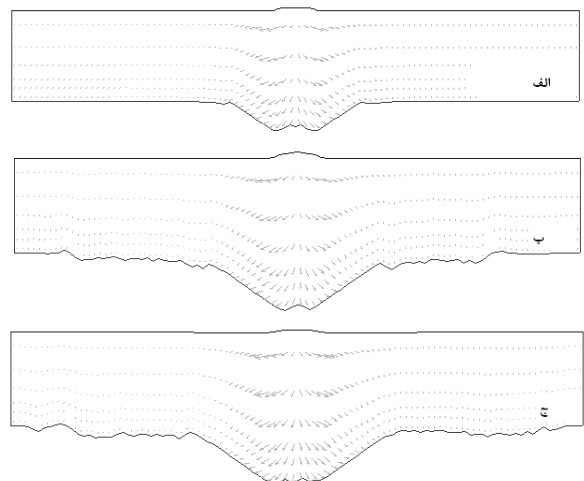
## ۶- جمع بندی

با توجه به خروجی‌های مدل عددی که در شکل‌های ۳ تا ۷ نشان داده شده اند نتایج زیر بدست می‌آیند:

- مدل عددی سه بعدی SSIIM توانایی مدل کردن توسعه عمق حفره آبشنستگی در حالت وابسته به زمان تحت هیدروگراف جریان را دارد. دقیق نتایج مدل عددی در شاخه صعودی هیدروگراف بسیار خوب است به طوریکه اختلاف نتایج مدل عددی و آزمایشگاهی در زمان‌های متناظر در شاخه صعودی کمتر از ۲۰٪ است.

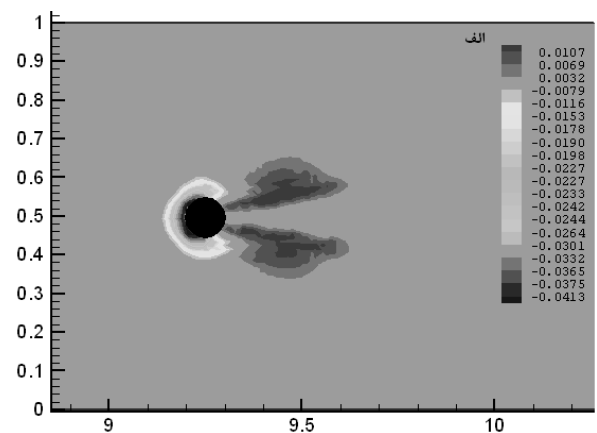
- قسمت عمده عمق آبشنستگی نهایی (بیش از ۸۰٪) در شاخه صعودی هیدروگراف جریان اتفاق می‌افتد. از این رو می‌توان در مقاصد عملی، توسعه عمق حفره آبشنستگی را تا پایان شاخه صعودی هیدروگراف مدل نمود و با در نظر گرفتن ضریب اطمینانی آن را در طراحی پایه پل بکار برد.

- در شاخه نزولی بعضی از هیدروگراف‌ها به دلیل تغییر ماهیت



شکل ۶. مقطع عرضی بلافارصله بالا در پایه پل و جهت جریان های ثانویه تحت هیدروگراف شکل ۱-پ، (الف) در انتهای ساعت اول، (ب) در انتهای ساعت سوم و (ج) در پایان ساعت هفتم.

در شکل ۶ مقطع عرضی بلافارصله بالا در پایه پل و جهت جریان های ثانویه رو به پایین در پایان ساعت های اول، سوم و هفتم تحت هیدروگراف شکل ۱-پ نشان داده شده است. روند توسعه عمق حفره آبشنستگی حول پایه استوانه‌ای و پس زدگی آب در بالا در شکل‌ها کاملاً مشهود است. در شکل ۷ تغییرات تراز بستر حول پایه استوانه‌ای تحت هیدروگراف جریان شکل ۱-پ به ترتیب در پایان ساعت های اول، سوم و هفتم نشان داده شده است. در این شکل‌ها مشاهده می‌گردد که به تدریج با گذشت زمان شکل گردابه‌های نعل اسپی اطراف پایه‌ها حفظ شده اند ولی امتداد آن‌ها تا فاصله دورتری پشت پایه کشیده شده است.



movements in water intakes with multiblock option," User's manual .

12. Olsen, N.R.B., Jimenes, O.F., Abrahamsen, L., and Lovoll, A., (1999), "3D CFD modeling of water and sediment flow in a hydropower reservoir," International Journal of Sediment Research, Vol. (14), No.1.
13. Chang, W.Y., Lai, J.S., and Yen, C.L., (2004), "Evolution of scour depth at circular bridge piers," J. Hydr. Engrg, ASCE, 130(9), pp 905-913.
14. Mia, M.F., and Nago, H., (2003), "Design model of time-dependent local scour at circular bridge piers," J. Hydr. Engrg., ASCE, 130(6), pp 420-427.

شرایط مرزی دبی و تراز سطح آب از حالت صعودی به نزولی، نتایج این تغییر شرایط با کمی تاخیر در مدل عددی ظاهر می شود و همین باعث ایجاد خطأ خواهد شد.

## - مراجع ۷

۱. اسماعیلی، ت.، خرقانی، س. و دهقانی، ا.ا.، (۱۳۸۸)، " شبیه سازی عددی آب شستگی موضعی در پایه پل های استوانه ای تحت جریان های غیر دارنی، " مجموعه مقالات هشتمین کنگره بین المللی مهندسی عمران، دانشگاه شیراز، شیراز، ایران.
۲. زرآتی، امیر رضا، (۱۳۸۱)، " نقش عوامل هیدرولیکی در طراحی پل ها، " دانشگاه صنعتی امیر کبیر، تهران.
۳. شفاعی بجستان، محمود، (۱۳۸۴)، " هیدرولیک رسوب، " دانشگاه شهید چمران، اهواز.
4. Murillo, J.A., (1987), "The scourge scour," J. Hydr. Engrg., ASCE, 57(7), pp 66-69.
5. Roheds, J., and Trent, R.E., (1999). "Economic of floods, scour and bridge failures," ASCE, pp 1013-1018.
6. Conaway, J.S., (2004), "Summary and Comparison of Multiphase Streambed scour Analysis at Selected Bridge Sites in Alaska," U.S. Department of the Interior, U.S. Geological Survey Publication, Scientific Investigation Report 2004-5066, 34 p.
7. Raudkivi, A.J., and Ettema, R., (1985), "Scour at cylindrical bridge piers in armoured beds," J. Hydr. Engrg., ASCE, 111(4), pp 713-731.
8. Mendoza-Cabral, C., (1993), "Computation of flow past a pier mounted on a flat plate, " Proceeding of ASCE Water Resources Engineering Conference, July 25-30, pp 899-904.
9. Ahmed, F., and Rajaratnam, N., (1998), "Flow around bridge piers," J. Hydr. Engrg., ASCE, 124(3), pp 288-300.
10. Yanmaz, A.M., (2006), "Temporal variation of clear water scour at cylindrical bridge piers," Can. J. Eng, 33, pp 908-1102.
11. Olsen, N.R.B., (2007), "A three dimensional numerical model for simulation of sediment